



## تأثير الشكل الهيكلی الداخلي لأنبوب الحرارة على الأداء وخصائص انتقال الحرارة

د. عباس سعيد حسين

د. حسين حامد احمد

سارة سعد عبد الجبار الرجبو

[Moamonabas@gmail.com](mailto:Moamonabas@gmail.com)

[Hahmad2006@yahoo.com](mailto:Hahmad2006@yahoo.com)

[Sarahsaad90.ss@gmail.com](mailto:Sarahsaad90.ss@gmail.com)

جامعة الموصل- كلية الهندسة - جامعة الموصل- كلية الهندسة -

جامعة الموصل- كلية الهندسة -

قسم الهندسة الميكانيكية

قسم الهندسة الميكانيكية

قسم الهندسة الميكانيكية

### الخلاصة

تضمنت الدراسة تصميم وتصنيع جهاز الترمومسيفون الحراري والأنبوب الحراري لإجراء دراسة عملية لانتقال الحرارة بالحمل الحراري الطبيعي ثنائي الطور داخل الجهاز. في هذا البحث تم التحقق تجريبياً من تأثير عوامل مختلفة على توزيع درجات الحرارة ومعامل انتقال الحرارة والتي تتضمن الطاقة المجهزة للمبخر من (300W) إلى (700W) و كمية شحن السائل (الماء) ممثلة بنسبة حجمية من حجم المبخر (١٥ %، ٥٠ %، ٨٥%). تم الاختبار باستخدام سطحين مختلفين للأنبوب وتحت ضغط مقارب للضغط الجوي (1 bar) عند الوصول إلى حالة الاستقرار. أظهرت النتائج أن أفضل نسبة ملء كانت (50%) وأن معامل انتقال الحرارة للأنبوب الحراري وجد أعلى من معامل انتقال الحرارة للتترمومسيفون الحراري. وإن الفرق في معدل درجة الحرارة بين المكثف والمبخر عند الحالة المستقرة وجد أقل للأنبوب الحراري مقارنة مع الترمومسيفون الحراري. المقارنة بين المنظومتين أظهرت إن الأنابيب الحراري كان أعلى كفاءة من الترمومسيفون الحراري ثنائي الطور. تمت مقارنة نتائج العمل الحالي مع معادلات وعلاقات نظرية وعملية لباحثين آخرين ، وكانت النتائج التجريبية متتفقة مع تلك المعادلات و العلاقات بصورة جيدة.

الكلمات المفتاحية: الأنابيب الحراري ، الترمومسيفون الحراري ، الأحاديد ، نسبة الماء ، الانتقال الحراري.

## Effect of Structural Shape of Heat Pipe Inside Surface on Performance and Heat Transfer Characteristics

Web Site: [www.kujss.com](http://www.kujss.com) Email: [kirkukjournsci@yahoo.com](mailto:kirkukjournsci@yahoo.com),  
[kirkukjournsci@gmail.com](mailto:kirkukjournsci@gmail.com)



Sarah Saad Abd AL-Jabbar Dr. Hussain Hamed Ahmad Dr. Abbas Saeed

Hussain

[Sarahsaad90.ss@gmail.com](mailto:Sarahsaad90.ss@gmail.com) [Hhahmad2006@yahoo.com](mailto:Hhahmad2006@yahoo.com)

[Moammonabas@gmail.com](mailto:Moammonabas@gmail.com)

University of Mosul –

University of Mosul –

University of Mosul

–

College of Engineering-  
Engineering-

College of Engineering-

College of

Mechanical Engineering  
Engineering

Mechanical Engineering

Mechanical

## ABSTRACT

The Heat Pipe and Thermosyphon have been designed, fabricated and tested to investigate the heat that transfers by two-phase natural convection. Different affecting parameters on temperature distribution and heat transfer coefficient are experimentally investigated including the power input (300 to 700W), the filling ratio of the working fluid(water), represented by a volumetric ratio with respect to evaporator volume (15%,50% & 85%). Two pipes with different inside surface shape were tested. All tests were fulfilled at a pressure, a proximity, near atmospheric pressure (1 bar) during steady state conditions. The experimental results showed that the best filling ratio is (50%) and the heat transfer coefficient in heat pipe is found to be maximal compared with The heat transfer coefficient in thermosyphon. The mean temperature difference between the evaporator and condenser at steady state in heat pipe is found to be minimal compared with thermosyphon.

A comparison is fulfilled between the current study results and the empirical, theoretical correlations by other researchers showed that the experimental results were in good agreement with those correlations.

Key Words : Heat pipe, Thermosyphon, Grooves, Filling ratio, Heat transfer.



	الرموز السفلية الدليلية	$m^2$	المساحة	A
المنطقة العازلة	a	---	(Bond) عدد	Bo
حد الغليان	BL	$J/kg \cdot ^\circ C$	السعه الحرارية النوعية	$C_p$
الغليان	Bo	---	ثابت يعتمد على مادة الأنبوب و نوع السائل المشغل	$C_{sf}$
شعري	cap	m	القطر	D
حد الجريان المتعاكس(حد الطوفان)	CCFL	---	(Filling Ratio) نسبة الماء	FR $FR = \frac{V_f}{V_e}$
المكثف	c	$m/s^2$	التعجيل الأرضي	g
المبخر	e	$W/m^2 \cdot ^\circ C$	معامل انتقال الحرارة	h
فعال	eff	$J/kg$	الحرارة الكامنة للتغير	$h_{fg}$
السحب	ent	---	(Kutateladze) عدد	$\hat{K}u$
العملي	exp	$m^2$	النفاذه	K
الخارجي	ext	$W/m \cdot ^\circ C$	الموصلية الحرارية	K
مائع	f	m	الطول	L
الداخلي	I	$kg/s$	التدفق الكتبي	$\dot{m}$
الداخلة	In	$N/m^2$	الضغط	P
السائل	l	---	$Pr =$ (Prandtle) عدد	Pr



			$\frac{\mu C_p}{k}$	
عالي	max	---	مادة تستخدم في عدة استخدامات ومن ضمنها الأثابيب البلاستيكية (Polyvinyl chloride).	PVC
مراكثر الغليان	n	W	كمية الحرارة	Q
خارجي	o	W/m <sup>2</sup>	الفيض الحراري	Q
خارجية	out	m	نصف القطر	R
أنبوب	P	°C	درجة الحرارة	T
قطري	rad	m <sup>3</sup>	الحجم	V
اللاصوتي	So	W	القدرة	W
كلي	t	kg/m <sup>3</sup>	الكتافة	ρ
بخار	v	N/m	الشد السطحي	σ
لزوجة	Vis	kg/m.s	اللزوجة الديناميكية	μ
الفتيل	Ws	---	المسامية	ε
		---	زاوية الميل	β

1: المقدمة



إن مبدأ الأنابيب الحرارية تم اكتشافه عام (1942) من قبل (Gaugler) وفي سنة (1962) من قبل (Trefethem) ولم ينتشر على نطاق واسع حتى عام (1964) عندما قام العالم (Grover) وزملاؤه في مختبر (Alamos) العالمي الوطني باختراع و توضيح مفهوم مستقل حيث صنع (Grover) أداة عالية الأداء ذات فاعلية في نقل الحرارة وعرف باسم "أنبوب حراري" ونتيجةً لارتفاع أسعار الوقود أصبح من الضروري إيجاد طرق جديدة لحفظ وزيادة الكفاءة لاستخدام الطاقة. ولهذا السبب، في العقود الخمسة الماضية تم تطوير أجهزة انتقال الحرارة عن طريق التغيير في شكل وكيفية انتقال الحرارة للأنظمة الحرارية مع كفاءة عالية [1]. يقوم هذا الجهاز بنقل الطاقة الحرارية من مصدر الطاقة في المبخر ليتم التخلص منها في المكثف داخل أنبوب مغلق من دون أي استعمال للأجزاء المتحركة مثل المضخة أو أجزاء السيطرة. الترموسيفون الحراري أو الأنبوب الحراري جهاز يتغير فيه الطور من السائل إلى البخار وبالعكس حيث ينقل الحرارة من المائع الحار إلى المستقبل البارد، لذا يُعد الأنبوب الحراري و الترموسيفون الحراري من الأجهزة ذات الكفاءة العالية في نقل الطاقة الحرارية من مكان إلى آخر. الترموسيفون الحراري والأنبوب الحراري مكون من حاوية مغلقة ومفرغة من الهواء مع أو بدون فتيلة تكون معلوقة بسائل التشغيل [2]، وهو يعتمد على الحمل الحراري الطبيعي ثنائي الطور في نقل الطاقة الحرارية داخل الجهاز، إذ أن انتقال الحرارة بالحمل الحراري ثنائي الطور أكبر بكثير مقارنة بالحمل الحراري أحادي الطور لسائل التشغيل نفسه كون الطاقة الكامنة أعلى بكثير من الطاقة المحسوسة [3]. إن قوى الجاذبية لها الدور الكبير لعودة الطور السائل لمائع التشغيل من المكثف إلى المبخر علمًا أن أنابيب الحرارة التي تستخدم الفتيلة ذات ألبياكل وألأشكل المختلفة تكون لتعزيز تدفق السائل. يمكن وضع الأنبوب بالاتجاه الأفقي والمعاكسي وبهذا سوف يتم ضخ السائل ضد الجاذبية من المكثف إلى المبخر. بعض التطبيقات لأنابيب الحرارية هي في أجهزة التبريد الإلكترونية، حفظ الحرارة لعادم التهوية، تطبيقات تبريد معالج الحاسوب، تبريد ريش التوربين الغازي وتبريد محرك الاحتراق الداخلي. الأنابيب الحرارية مهمة في أنظمة السيطرة الحرارية للأقمار والسفن الفضائية فهي لا تحتاج إلى طاقة كهربائية أو أجزاء متحركة وفعالة جداً لنقل الحرارة كما أنها تمتلك عمر تشغيلي طويل وكذلك تحتاج إلى أجهزة لا تعتمد على الجاذبية الأرضية وبذلك فإن الأنبوب الحراري هو [4] المستخدم في هذا التطبيق حيث يعطي ضخاً شعرياً عالياً.

## 2: محددات انتقال الحرارة



**1-2: محددات الأنابيب الحراري:** محددات الحرارة الداخلة القصوى التي يجب انتقالها بواسطة الأنابيب الحراري يمكن تقسيمها إلى فئتين أساسيتين: محددات تؤدي إلى فشل وتوقف عمل الأنابيب الحراري ومحددات لا تؤدي إلى ذلك [5]. كمية الحرارة الداخلة للأنابيب الحراري  $Q$  تتناسب طردياً مع معدل كتلة جريان مائع التشغيل المدور والحرارة الكامنة للتبخّر  $h_{fg}$  للمائع وان الحرارة الداخلة هي

$$Q_{\max} = \dot{m}_{\max} \times h_{fg} \quad (1.2)$$

### 1-1-2: محددات الفشل او توقف العمل:

1- المحدد الشعري: القبلية الشعرية لتحقيق دوران مائع التشغيل تسمى المحدد الشعري أو المحدد الهيدروديناميكي وهي تحدث عندما يكون معدل الضخ غير كافٍ لتزويد جزء المبخر بالمائع [6].

الحرارة المنتقلة القصوى لمعظم الأنابيب الحرارية تتمثل بالاتي[7]:

$$Q_{\max,cap.} = \left[ \frac{\rho_l \sigma_l h_{fg}}{\mu_l} \right] \left[ \frac{A_{ws} K}{L_{eff}} \right] \left[ \frac{2}{r_{cap}} + \left( \frac{\rho_l}{\sigma_l} \right) g L_t \cos \beta \right] \quad (2.2)$$

2- محدد الغليان: عندما يكون تدفق الحرارة القطري في مقطع المبخر عالياً جداً، فالماء على السطح الداخلي المشغل (الفتيلة) للمبخر يغلي ودرجة حرارة الجدار تصبح عالية بشكل مفرط. فقاعات البخار المتشكلة على السطح الداخلي المشغل (الفتيلة) تمنع السائل من تبليغ جدار الأنابيب مكونةً نقاط حارة. وبهذه الحالة تكون ظاهرة الجفاف التام للمبخر. طور العالم [chi] 1976 مصطلح للتدفق الحراري المصاحب لنمو الفقاعات، وهو دالة لخواص الماء كما موضح في المعادلة:

$$Q_{\max,bo.} = \left( \frac{2\pi L_e (k_{eff})_{ws} T_v}{h_{fg} \rho_v \ln \left( \frac{r_i}{r_v} \right)} \right) \left( \frac{2\sigma}{r_n} - \Delta P_{cap,max} \right) \quad (3.2)$$

3- حد السحب: الأنابيب الحراري يحيى على السائل والبخار اللذين يكونان باتجاهين متعاكسين. قوة القص توجد عند تداخل السائل-البخار. كما إن سرعة البخار العالية قد تسبب في حمل بعض



قطرات السائل مع البخار عائداً إلى المكثف، وهذا يمنع عودة السائل للمبخر. أما الطريقة لإيجاد حد السحب باستخدام خاصية عدد ويبر (عدد ويبر يُعرف بالنسبة بين قوة القص اللزجة إلى الشد السطحي) قد تم اعتمادها[7]. ومعادلة حد السحب:

$$Q_{max,ent.} = A_v h_{fg} \left( \frac{\sigma \rho_v}{2 r_{cap}} \right)^{0.5} \quad (4.2)$$

#### 2-1-2 : محدودات العمل (عدم الفشل):

1- الحد اللاصوتي: الحد اللاصوتي يشابه فوهه النافث المتقارب - المتباعد- (Converging-diverging nozzle) مع معدل كتلة جريان ثابتة، وسرعة البخار تزداد على امتداد المبخر وتصل أقصاها عند نهاية جزء المبخر[6]. لذا حتى ولو قُلت درجة حرارة المكثف لا يحدث زيادة في جريان البخار نحو المكثف. هذا يسمى الحد اللاصوتي. المصطلح لهذا الحد يشتق من نظرية جريان البخار للبعد الواحد[7,5]. والشكل النهائي للمعادلة:

$$Q_{max,so.} = 0.474 A_v h_{fg} (\rho_v P_v)^{1/2} \quad (5.2)$$

2- حد اللزوجة(Viscous Limit): عند العمل بدرجات حرارة منخفضة فان فرق ضغط البخار بين حيز المبخر والمكثف للأنبوب الحراري يكون قليلاً جداً وبالتالي تكون قوى اللزوجة التي تقع ضمن حيز البخار هي المؤثرة بسبب مدى درجات الحرارة. في هذه الحالة فان فرق الضغط قد لا يكون كاف لتمويل الجريان والبخار قد يتوقف. هذا ما يسمى بحد اللزوجة. هذا الحد يحدث عندما يعمل الأنابيب الحراري عند درجات حرارة أقل من مدى درجات العمل الطبيعية [7,6].

ويتمثل هذا الحد رياضياً بـ[7,5,6]:

$$Q_{max,vis.} = \frac{A_v r_o^2 h_{fg} \rho_v P_v}{16 \mu_v L_{eff}} \quad (6.2)$$

3- حد المكثف(Condenser limit): معدل انتقال الحرارة في حيز المكثف مسيطر عليه بربط المكثف مع المبرد(نظام سحب الحرارة). عند الحالة المستقرة ،معدل طرح الحرارة في المكثف يجب أن يساوي معدل الحرارة المضافة في المبخر. المكثف يعمل على نقل الحرارة أما بالحمل



وأو الإشعاع[5]. حد المكثف يحدث عندما يكون معامل انتقال الحرارة بالحمل واطئ (مثلاً الحمل الطبيعي)، انبعاثية (emissivity) واطئة للسطح أو محدودية المساحة السطحية. في هذه الحالات، الحرارة المضافة للأنبوب الحراري تؤدي إلى زيادة درجة حرارة الأنابيب الحراري بسبب الحاجة لزيادة فرق درجات الحرارة بين مكثف الأنابيب والمبرد. الطرق لتحسين حد المكثف يجب أن تتضمن زيادة معامل انتقال الحرارة بواسطة زيادة انبعاثية السطح. في هذه الحالة الحرارة المنتقلة (الحرارة الخارجية) من المكثف بواسطة الماء البارد يمكن إيجادها بواسطة :

$$Q_c = \dot{m} \times C_p (T_{out} - T_{in}) = Q_{out} \quad (7.2)$$

## 2-2 : محددات الترمومسيفون الحراري:

انتقال الحرارة بالحمل الحراري ثانوي الطور داخل الترمومسيفون الحراري محاط بعدها محددات يجب أخذها بنظر الاعتبار ليتم الوصول إلى أفضل تصميم للجهاز وهي تعتمد على الأبعاد الهندسية للجهاز، كمية ملء مائع التشغيل ومقدار الفيصل الحراري المجهز وهذه المحددات هي:

1- حد الجفاف: يحدث حد الجفاف عند نسبة ملء معينة وعادةً ما يكون عند النسب القليلة لماء التشغيل في المبخر، بسبب نقص كمية كبيرة من ماء التشغيل داخل المبخر كون الماء المتبخر الخارج من المبخر أكثر من الماء المتكثف والعائد إلى المبخر مما يؤدي إلى ارتفاع درجة الحرارة للمبخر [3].

2- الحد الأقصى للغليان: حد الغليان يظهر عند نسبة الماء الكبيرة لماء التشغيل والفيصل الحراري العالي [8]، وطبقاً لخواص ديناميك الحرارة للسوائل فإن ماء التشغيل يبدأ بالغليان عندما يصل إلى درجة حرارة التشبع عند الضغط النوعي له ولكن بشكل عملي فأن انتقال الحرارة داخل حوض الغليان يبدأ عندما تكون درجة حرارة سطح التسخين أعلى من درجة حرارة ماء التشغيل، فقاعات البخار تتولد عند الفيصل الحراري العالي على سطح المبخر وتبدأ بالتزايد عند زيادة درجة الحرارة وتبدأ بتشكيل طبقة من البخار ملائمة لسطح المبخر الداخلي، وهذا يمنع التلامس بين ماء التشغيل وسطح الأنابيب، وبالتالي تقليل انتقال الحرارة، وذلك لكون الموصولة الحرارية للبخار أقل من السائل للماء نفسه [3]. قام الباحث (Immura) [2] بوضع علاقة تحدد الحد الأقصى للطاقة الحرارية المنقولة بالغليان :



$$Q_{max,bo} = A_{rad} h_{fg} \rho_v^{0.5} [g\sigma(\rho_l - \rho_v)]^{1/4} \hat{K} u_{BL} \quad (8.2)$$

إذ أن

$$\hat{K} u_{BL} = 0.16 \left[ 1 - \exp \left\{ \left( -d/L_e \right) \left( \rho_l/\rho_v \right)^{0.13} \right\} \right] \quad (9.2)$$

$$A_{rad} = \pi d L_e \quad (10.2)$$

3- حد الجريان المتعاكـس (الـطوفـان): يعتبر من الحدود المهمة والشائعة الموجودة في الترمـوسـيفـونـ ثـنـائـيـ الطـورـ عـنـ كـمـيـةـ الـمـلـءـ الـكـبـيرـ لـمـائـعـ التـشـغـيلـ،ـ وـفـيـضـ حـرـارـيـ مـحـورـيـ عـالـيـ وـفـيـضـ حـرـارـيـ مـحـيـطـيـ وـاطـيـ.ـ قـوـةـ القـصـ لـلـبـخـارـ تـمـنـعـ الـمـائـعـ الـمـتـكـثـفـ مـنـ العـودـةـ إـلـىـ الـمـبـخـرـ ماـ يـؤـديـ إـلـىـ ظـهـورـ طـفـوـ فـيـ الـمـكـثـفـ.ـ وـهـذـاـ يـؤـديـ إـلـىـ جـفـافـ جـزـئـيـ فـيـ الـمـبـخـرـ ماـ يـؤـديـ إـلـىـ تـوقـفـ النـظـامـ.ـ الـمـعـادـلـةـ الـعـامـةـ الـمـسـتـخـدـمـةـ لـهـذـاـ الـحدـ [9]ـ،ـ هـيـ:

$$Q_{max,CCFL} = Ku_{CCFL} h_{fg} A [g\sigma(\rho_l - \rho_v)]^{1/4} \left[ \rho_v^{-1/4} + \rho_l^{-1/4} \right]^{-2} \quad (11.2)$$

$$Ku_{CCFL} = \left( \frac{\rho_l}{\rho_v} \right)^{0.14} \tanh^2 Bo^{1/4} \quad (12.2)$$

$$Bo = d \left[ g(\rho_l - \rho_v)/\sigma \right]^{1/2} \quad (13.2)$$

تم حساب الحدود جميعها للترمـوسـيفـونـ الـحرـارـيـ وـالـأـنـبـوبـ الـحرـارـيـ كما مـبـيـنـ فـيـ الجـدولـ .ـ (1)ـ

الـجـدولـ (1)ـ:ـ يـبـيـنـ الـحدـ الـأـقـصـىـ لـكـلـ حدـ سـوـاءـ لـلـترـمـوسـيفـونـ الـحرـارـيـ وـالـأـنـبـوبـ الـحرـارـيـ.

Type	Q	Equation no.	Value(W)
<hr/>			



	$Q_{max, cap.}$	2.2	١١٤١١
	$Q_{max, bo.}$	3.2	٢٧٣٨٣٥
Heat Pipe	$Q_{max, ent.}$	4.2	١٧٦٤٨١
	$Q_{max, so.}$	5.2	٣٤٢٩٣٠
	$Q_{max, vis.}$	6.2	7.602E+13
Thermosyphon	$Q_{max, bo}$	8.2	١٨٣١٠
	$Q_{max, CCFL}$	11.2	٦٧٢٧٨٨

### 3: جهاز الاختبار

تم تصنيع الجهازين المختبريين من أنبوب نحاسي كما مبين في الشكل (1) حيث بلغ الارتفاع الكلي (670mm)، كما تم تصنيع أنبوبين مختلفين في الشكل الداخلي الأول ذو سطح أملس بدون اي تشغيل لسطحه الداخلي(ترموسيفون حراري) بقطر داخلي وخارجي (30mm,27mm) على التوالي ، والسبب في اختيار هذا الأنابيب بهذا السطح لجعله أساساً لمقارنته مع الشكل الآخر وإيجاد الأفضل. أما الأنابيب الثاني فكان ذات سطح مشغل على شكل حلقات نحاسية متساوية في الأبعاد الهندسية ذات قطر داخلي وطول وسمك (0.5mm,10mm,27mm) على التوالي وتقع على مسافات متساوية حيث كانت المسافة بين حلقة وأخرى (10mm) كما مبين في الشكل (2).

أما الأجزاء الرئيسية لهذا الجهاز فتشمل :-

**1-3 : المبخر:** يقع المبخر في هذا البحث في الجزء السفلي لكلا الجهازين وهو مثبت بصورة عمودية حيث صنع من أنبوب نحاسي بطول (200mm) وقطر داخلي وخارجي (30mm,27mm) على التوالي، وتبلغ النسبة الباعية ( $Le/de = 4.4$ ). أستخدم سلك تسخين كهربائي لتسخين سطح المبخر حيث تم لفه على محيط سطح المبخر بعدد لفات (8) لفة.



ولتقليل كمية الطاقة الحرارية المفقودة على طول المبخر استخدمت ثلاثة طبقات العازل: طبقة داخلية من الطين بسمك (33.5mm)، وأنبوب بلاستيكي (PVC) بسمك (4mm) يقع في الوسط وطبقة خارجية من الصوف الزجاجي بسمك (1mm) كما موضح في الشكل (1)، واستخدمت ستة مزدوجات حرارية نوع (K) لقياس درجات الحرارة لسطح المبخر حيث ثُبّتت على خط عمودي واحد وبمسافة معينة بين كل مزدوج حراري وأخر وثبت أحدهم في قاع المبخر، يحوي المبخر في الأنابيب المشغل على (10) حلقة.

**3-2: المكثف:** يقع المكثف في هذا البحث في الجزء العلوي لكلا الجهازين موضوع بصورة عاموديه، تم تصنيعه من أنبوب نحاسي بطول (270mm) قطر داخلي وخارجي (30mm,27mm) على التوالي، يحوي الأنابيب المشغل (13) حلقة. مائع التبريد في المكثف هو الماء يجري داخل أنبوب محوري من (PVC) يقع في المركز بقطر داخلي وخارجي (80mm,77mm) على التوالي كما في الشكل(1)، حيث كان جريان الماء داخل الأنابيب المحوري في المكثف بنفس اتجاه جريان البخار. تُحسب كمية ماء التبريد وكذلك درجة حرارة دخوله وخروجه لمعرفة كمية الطاقة المتحررة. وقد ثُبّتت سبعة مزدوجات حرارية، اثنان على خط الدخول والخروج للماء في الأنابيب المحوري لمعرفة درجة حرارة المائع الداخل والخارج من المكثف، وخمسة على السطح الخارجي للمكثف كما في الشكل(1).

**3-3 : المنطقة العازلة:** يحوي الترمومسيفون الحراري أو الأنابيب الحراري على جزء من الأنابيب معزول حرارياً من النحاس بطول (200mm) وقطر داخلي وخارجي (30mm,27mm) على التوالي، يحوي على عدد من الحلقات (10) حلقة. عزل الأنابيب بثلاث طبقات طبقة داخلية من الطين بسمك (33.5mm)، وأنبوب بلاستيكي (PVC) بسمك (4mm) يقع في الوسط وطبقة خارجية من الصوف الزجاجي بسمك (1mm). ثُبّت مزدوجان لقياس درجة الحرارة واقعين على خط واحد كما في الشكل (1). ربطت المزدوجات الحرارية بعد معايرتها بقارئ الكتروني نوع (MMG) ذي مواصفات عالية بإمكانه قراءة (100) قراءة بالثانية الواحدة وحدود قراءته لدرجات الحرارة ( $500-0^{\circ}$ ) وكانت حساسية قراءة هذا الجهاز تبلغ ( $0.01^{\circ}\text{C}$ ) كما موضح في الشكل (3). تم تحويل هذه القيم من خلال برنامج (Lab View) حيث يأخذ القراءة الآتية لكل مزدوج حراري وبين كل قيمة وقيمة لدرجات الحرارة ثانية ونصف من الزمن وبين كل قراءة وأخرى (30) ثانية.



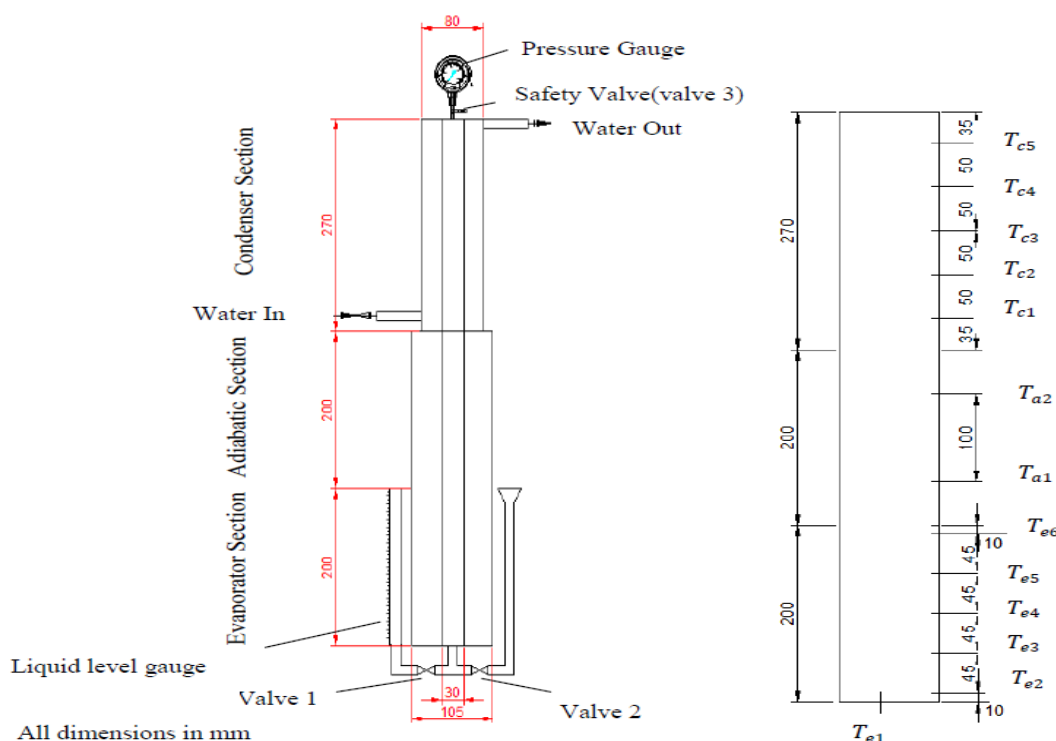
#### 4: الاختبار

##### 1-4: العوامل المعتبرة في الدراسة

- 1- شكل السطح الداخلي للأنبوب الحراري (أملس بدون أي تشغيل والأخر يحوي على حلقات).
- 2- القدرة الداخلية (700-300W) وبتدرج (50W).
- 3- مائع التشغيل : ماء مقطر.
- 3- نسبة ملء المبخر (٨٥%، ٥٠%، ١٥%).

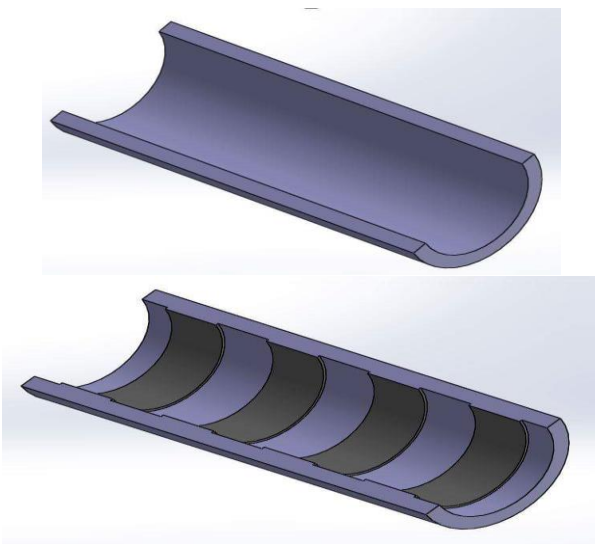
##### 2-4: الخطوات العملية للتجربة:

اولاً يتم فتح الصمامات(1,2,3)، ومن ثم ملء المبخر بمائع التشغيل من خلال وعاء الماء بالكمية المحددة. غلق الصمامات (1,2,3). بعد ذلك يفتح صمام ماء التبريد للمكثف. يتم تشغيل المنظومة الالكترونية لقياس درجات الحرارة والهاسوب وكذلك البرنامج الخاص واخذ قراءة أولية لدرجات حرارة الأنابيب ودرجة حرارة الماء الداخل والخارج من المكثف. يجهز سلك التسخين بالطاقة الكهربائية المطلوبة( $Q_{in}$ ) باستخدام مغير المقاومة (Variac) ومقاييس القدرة (Wattmeter). تسجيل درجات الحرارة على طول سطح الجهاز لمدة زمنية ثابتة (كل 30 ثانية).يفتح الصمام (3) عند ارتفاع الضغط للتخلص من الغازات المتبقية داخل الأنابيب للتأكد من انه مفرغ من الهواء. وعند وصول الجهاز إلى حالة الاستقرار تُسجل جميع درجات الحرارة لسطح الجهاز. واخيراً لحساب الطاقة الحرارية المحررة من المكثف يتم من خلال قياس درجة الحرارة الماء عند الداخل والخارج.



الشكل (1):أ- مخطط توضيحي للجهاز المختبرى.

ب- مقطع للجهاز يبين موقع المذووجات الحرارية.





b

a

الشكل(2): الأشكال المستخدمة للسطح الداخلي.

a: السطح الداخلي المشغل (المحدد).

b: السطح الداخلي الأملس.

قارئ درجة حرارة الجو



الشكل(3): صورة فوتوغرافية للجهاز والمنظومة المختبرية.

## 5: النتائج والمناقشة

5-1 : تأثير نسبة الماء والقدرة الداخلة وشكل السطح الداخلي للأنبوب على توزيع درجات الحرارة على طول الأنابيب

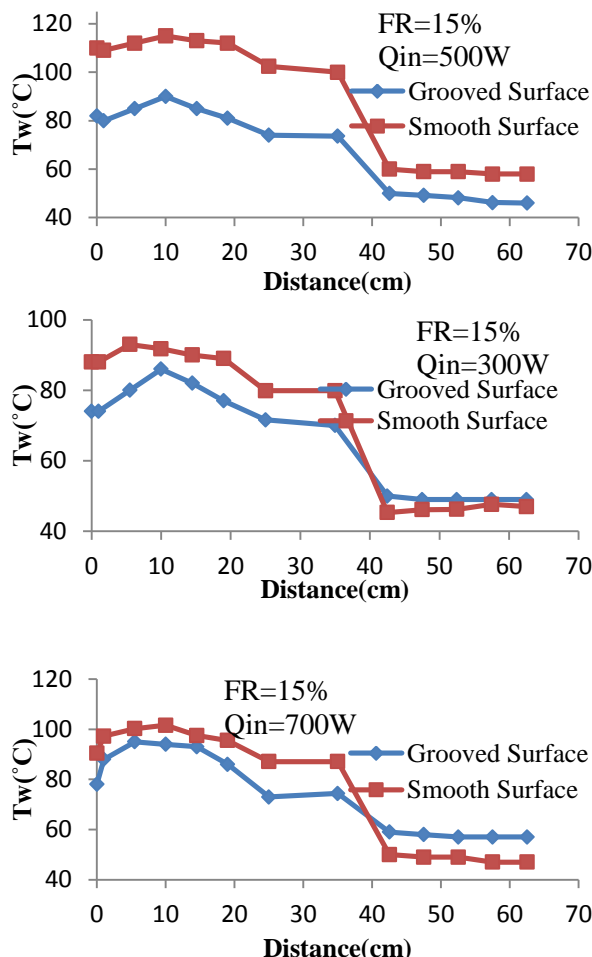
إن النسبة المشحونة للماء في المبخر لها أهمية كبيرة على كفاءة الجهاز المختبري فإذا كانت نسبة الشحن قليلة جداً فذلك سوف يؤدي إلى الجفاف، أما إذا كانت نسبة الشحن كبيرة جداً فسيلاحظ تجمع الماء على سطح المكثف ويعمل على سد سطح التكثيف في المكثف [7]. إن التعبير عن كمية الماء المشغل في الترمومسيفون الحراري أو الأنابيب الحراري متمثلة كنسبة حجم ماء التشغيل إلى الحجم الداخلي للمبخر. الشكل (4) يبين توزيع درجات الحرارة على طول



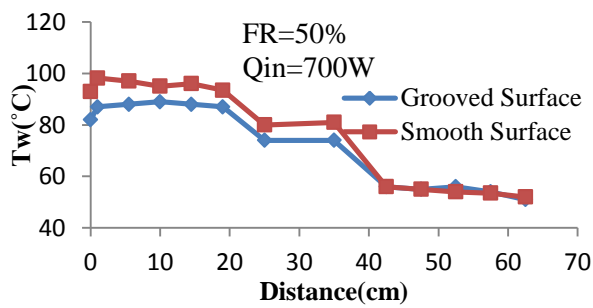
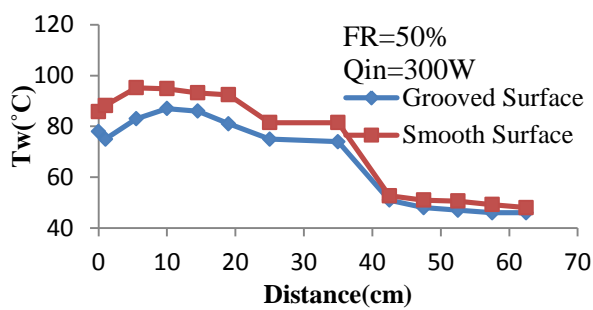
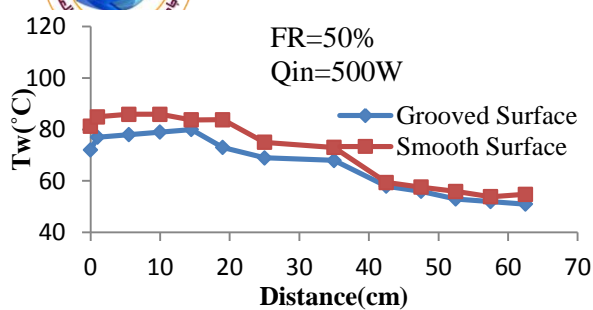
الأنبوب (الترموسيفون الحراري والأنبوب الحراري) لنسب الماء الثلاث. عند نسبة الماء (15%) لُوحيَ أنه عند القدرة الواطئة كان الفرق في معدل درجة الحرارة بين السطحين الأملس والمُخدد للمبخر قليلاً حيث بلغ الفرق ما يقارب عشرة درجات سيليزية وهذا الفرق أيضاً ظهر عند المنطقة المعزولة وبنفس المقدار وعند ملاحظة جزء المكثف ظهر تقاربًا كبيراً للمنحنيين على طول جزء المكثف. عند القدرة المتوسطة يُلاحظ الفرق الكبير لمنحنيات درجات الحرارة بين السطحين حيث بلغ الفرق في معدل درجة الحرارة ما يقارب ثلثين درجة سيليزية عند جزء المبخر والمنطقة المعزولة ويبدأ هذا الفرق بالانخفاض عند سطح المكثف. عند القدرة العالية لُوحيَ أن المنحنيات متقاربة بشكل كبير حيث بلغ أقل الفرق في معدل درجة الحرارة بين السطحين ثمانية درجات سيليزية عند جزء المبخر والمنطقة المعزولة. أما عند جزء المكثف يُلاحظ أن السطح الأملس درجة حرارته أقل من تلك التي ظهرت عند سطح الألمنيوم ومن الممكن أن يكون سبب ذلك هو دوران مائع التشغيل في السطح المُخدد أفضل من السطح الأملس وكذلك زيادة المساحة السطحية. أما لنسبة الماء (50%) حيث ظهر تقارب كبير في منحنيات درجات الحرارة للسطحين وبلغ أعلى فرق في معدل درجة الحرارة ما يعادل عشرة درجات بين سطحي المبخر للسطح الأملس والمُخدد عند القدرة الواطئة والفرق في معدل درجة الحرارة كان ما يعادل تسعة درجات مئوية بين سطحي المبخر للسطح الأملس والمُخدد عند القدرة العالية. ولُوحيَ عند نسبة الماء (85%) حيث ظهر تقارب كبير لمنحنيات درجة الحرارة عند القدرة الواطئة وبلغ الفرق بين درجات الحرارة بين سطحي المبخر للسطح الأملس والمُخدد ما يعادل ثلث درجات سيليزية ومن ثم ظهر فرق بين منحنيات درجة الحرارة بازدياد القدرة وبلغ أعلى فرق بين درجات الحرارة بين سطحي المبخر للسطح الأملس والمُخدد خمسة عشر درجة سيليزية. لُوحيَ أن في جميع القدرات المزودة للمبخر إن منحنيات الترموسيفون الحراري ولجميع النسب هي أعلى من منحنيات الأنابيب الحراري ويمكن تعليل ذلك التصرف بكثرة مراكز الغليان في سطح الأنابيب الحراري مقارنة مع سطح الترموسيفون الحراري وبذلك تكون الفقاعات المتكونة على سطح الأنابيب الحراري أصغر حجماً وأكبر عدداً مما يؤدي إلى مغادرة المبخر بصورة أسرع وبالتالي يكون دوران مائع التشغيل بشكل أفضل وهذا يتطابق مع [10]. الفرق في معدل درجة الحرارة بين المكثف والمبخر عند الحالة المستقرة وجدَ أقل للأنبوب الحراري عند نسبة ماء (50%) وقدرة مجهزة (500W) حيث بلغ الفرق (22.5°C). أما الفرق في معدل درجة



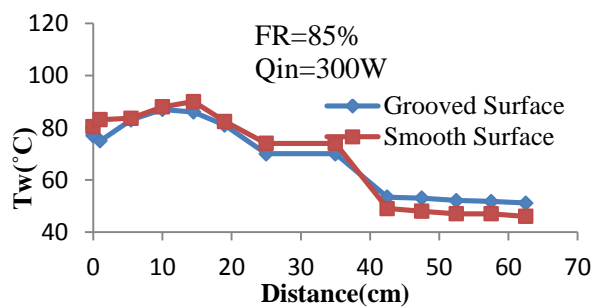
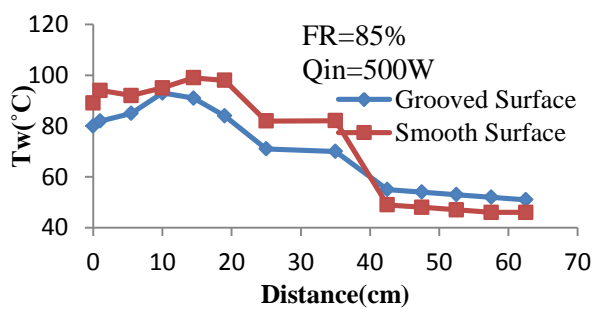
الحرارة للمكثف والمبخر عند الحالة المستقرة وجد اقل للترموسيفون الحراري عند نسبة ملء(50%) وقدرة مجهزة (500W)، حيث بلغ الفرق (27.91°C).

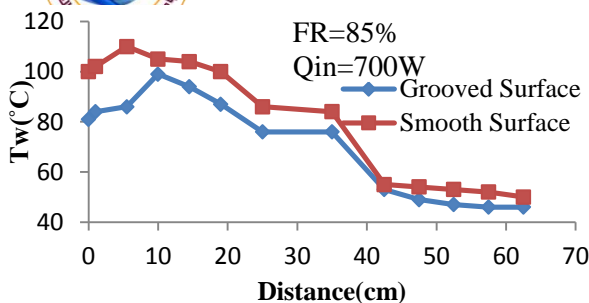


(a)



(b)





(c)

الشكل (4): تأثير نسبة الماء والقدرة المدخلة والشكل الداخلي للأنبوب على توزيع درجات الحرارة وبإختلاف القدرة المجهزة.

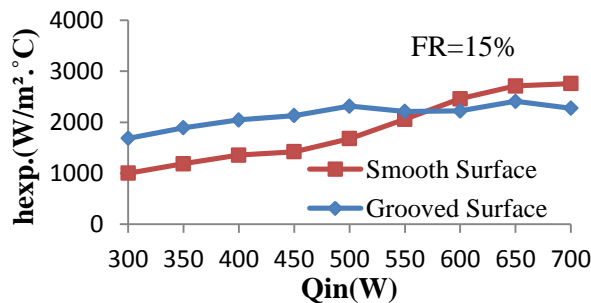
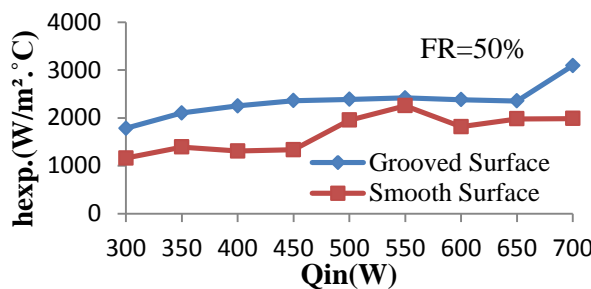
.(a): نسبة الماء (15%) ، (b) : نسبة الماء(50%)، (c): نسبة الماء(85%).

## 5-2: تأثير السطح الداخلي للtermosifons و الأنابيب الحراري على معامل انتقال الحرارة لنسب الماء الثلاث

الشكل (5) يوضح المقارنة بين معامل الانتقال الحراري للtermosifons الحراري والأنبوب الحراري عند نسب الماء الثلاث. عند نسبة الماء (15%) يلاحظ أن القدرة العالية تزيد من معامل انتقال الحرارة في termosifons وتتفوقت هذه الزيادة على معامل انتقال الحرارة في الأنابيب الحراري وتبين انه عند تلك النسبة والقدرة التقديرية (560W) لا يوجد أي تأثير للسطح الداخلي للمبخر. من الواضح أن معامل انتقال الحرارة للأنبوب الحراري أفضل من معامل انتقال الحرارة للtermosifons الحراري عند نسبة الماء (50%) وهذا يعزى إلى وجود الأحاديد التي تزيد من المساحة السطحية لانتقال الحرارة. عند نسبة الماء (85%) أيضاً كان معامل انتقال الحرارة للأنبوب الحراري أفضل من termosifons الحراري وظهر تقارب بين المنحنين وخاصة عند القدرات المجهزة الواطئة. من الواضح أن الأنابيب وtermosifons الحراري يكون معامل الانتقال الحراري فيما اقل عند نسبة الماء العالية مقارنة مع النسب الأخرى. أن أفضل معامل انتقال الحرارة للأنبوب الحراري وجد ليكون أعلى عند نسبة الماء (50%) وقدرة مجهزة

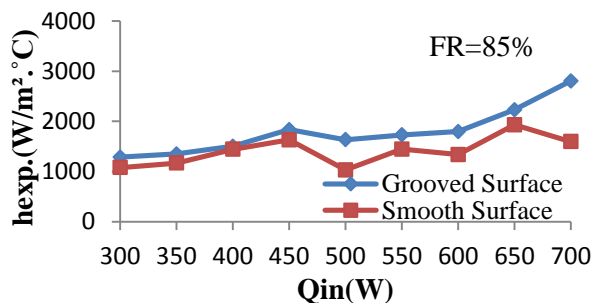


(700W) حيث بلغت قيمة معامل الانتقال الحراري ( $\text{W/m}^2 \cdot ^\circ\text{C}$ ) (3100). أما <sup>كثافة انتقال الحرارة</sup> (700W) حيث بلغت قيمة معامل الانتقال الحراري ( $\text{W/m}^2 \cdot ^\circ\text{C}$ ) (2253).



(a)

(b)



(c)

الشكل (5): المقارنة بين معامل الانتقال الحراري للترموسيفون الحراري والأنبوب الحراري لنسب الماء المختلفة عند قدرات متباعدة.



. (a) : نسبة الماء (15%) ، (b) : نسبة الماء (50%) ، (c) : نسبة الماء (85%) .

### 5-3: مقارنة النتائج العملية مع العلاقات النظرية والتجريبية

يتبيّن إن نسبة الماء وشكل السطح الداخلي للأنبوب تأثير على معامل انتقال الحرارة من خلال استخدام الجهاز المختبري وتحت قيم مختلفة للطاقة الحرارية الداخلة للمبخر. أجريت مقارنة لمعامل انتقال الحرارة بين النتائج العملية للبحث مع نتائج معادلات عملية ونظرية لباحثين آخرين [11,2] .

تم حساب معامل انتقال الحرارة للمبخر بشكل عملي من خلال القراءات المسجلة درجة حرارة السطح ودرجة حرارة البخار وقيمة الحمل الحراري باستخدام المعادلة الآتية :

$$h_{exp} = \frac{Q_{av.}}{\pi D_e L_e (T_{e,av.} - T_v)} \quad (1.5)$$

وُجد أن منطقة الغليان الفقاعي هي الأكثر ظهوراً في المبخر عندما تكون نسبة الماء أكبر من (30%) [12]. لذا اختيرت العلاقات التي تطبق على (Nucleate Boiling) لإيجاد معامل انتقال الحرارة وإجراء مقارنة لها مع النتائج العملية المأخوذة من الجهاز. العلاقات التي اختيرت لإجراء هذه المقارنة هي للباحثين المذكورين أعلاه. إذ تعد علاقة [2] الأكثر استخداماً وهي تعتمد على نوع مائع التشغيل ونوع سطح حوض الجريان [3].

$$h_{Rohsenow} = \frac{q^{2/3}}{C_{sf} \times h_{fg} \times \left( \frac{1}{h_{fg} \times \mu_l} \left( \frac{\sigma_l}{g(\rho_l - \rho_v)} \right)^{0.5} \right)^{1/3} \times pr^{1.7}} \quad (2.5)$$

$$h_{Immura} = 0.32 \left( \frac{\rho_l^{0.65} k_l^{0.3} c p_l^{0.7} g^{0.2} q^{0.4}}{\rho_v^{0.25} h_{fg}^{0.4} \mu_l^{0.1}} \right) \left( \frac{P_{sat}}{P_a} \right)^{0.3} \quad (3.5)$$

إن المقارنة بين النتائج العملية لمعامل انتقال الحرارة داخل المبخر المأخوذة من المعادلة (1.5) والنتائج النظرية المأخوذة من المعادلتين (2.5)&(3.5) تم توضيحيها في الشكل(6) حيث تبيّن إن أوطئ منحني لمعامل انتقال الحرارة ظهر للباحث [11] ولجميع نسب الماء المجهزة. كما

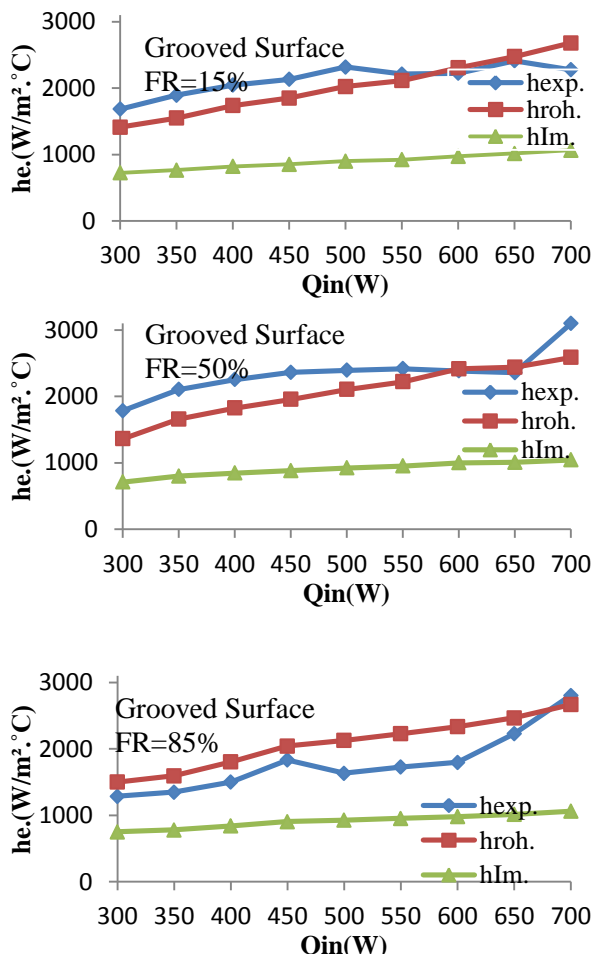


يُلاحظ بان هناك تتناسب طردياً بين القدرة المدخلة ومعامل انتقال الحرارة ولجميع منحني الماء المجهزة. عند نسب الماء (50%)(&15%) تبين أن منحني معامل الانتقال الحراري العملي أفضل من منحني الباحثين [2 ، 11] ، وظهر تقاطع بين منحني معامل الانتقال العملي ومنحني معامل الانتقال للباحث [2] بحدود القدرة (580W) عند نسبة الماء (15%). عند القدرة العالية ظهر تناقص لمعامل انتقال الحرارة العملي وقد يكون سبب ذلك حدوث حالة الجفاف . وعند نسبة الماء (50%) يُلاحظ تقاطع منحني معامل انتقال الحرارة العملي ومعامل انتقال الحرارة للباحث [2] عند القدرة (600W)، وعند القدرات اقل من (600W) كان معامل انتقال الحرارة للعملي أعلى مما هو عليه لمعامل الانتقال [2]. وعند نسبة الماء (85%) لُوحيظ أن المنحني لمعامل انتقال الحرارة [2] أعلى من منحني معامل انتقال الحرارة العملي. من الملاحظ أن أفضل منحني لمعامل انتقال الحرارة كان عند نسبة الماء (50%).

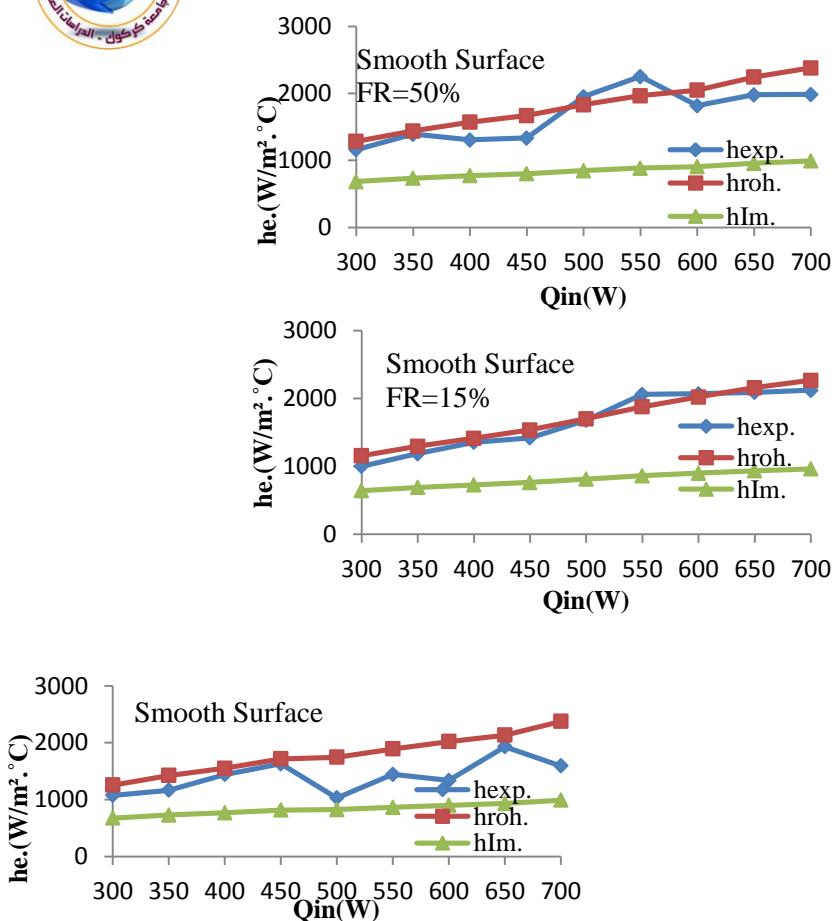
أما الشكل (7) يوضح العلاقة بين معامل انتقال الحرارة والقدرة المدخلة للمبخر خلال الترمومسيفون الحراري لنسب الماء الثلاث. إذ يمكن ملاحظة التقارب بين المنحني العملي ومنحني [2] لجميع النسب لكنه يكون بشكل أفضل عند انخفاض نسبة الماء والقدرة المدخلة. إن منحني معامل الانتقال الحراري العملي يقع بين منحني العلاقة النظرية والعملية للباحثين المذكورين أعلاه وهذا ما توافق مع الباحث [13]. إن أوطئ منحني لمعامل انتقال الحرارة ظهر للباحث [11] ولجميع نسب الماء المجهزة. هناك تتناسب طردياً بين القدرة المدخلة ومعامل انتقال الحرارة ولجميع نسب الماء المجهزة. عند نسبة الماء (15%) و القدرة المدخلة للمبخر يُلاحظ إن منحني [2] أعلى من المنحني العملي ، ثم يبدأ المنحني العملي بالتقرب ويتقاطع عند القدرة (500W) وبذلك يمكن القول بان معامل انتقال الحرارة العملي عند نسبة ماء (15%) وقدرة مدخلة (500W) حققت توافقاً كبيراً مع معامل انتقال الحرارة للباحث [2]. ثم يصل قمته عند القدرة (550W) ومن ثم يتقاطع عند القدرة التقريرية (620W) وعند القدرة العالية يُلاحظ أن منحني [2] أعلى من منحني العملي. عند نسبة الماء (50%) يُلاحظ أن القدرة (350W) أظهرت توافقاً بين معامل انتقال الحرارة العملي ومعامل انتقال الحرارة للباحث [2]. عند القدرتين (550W)(500W)& ظهرت زيادة مفاجئة لمعامل انتقال الحرارة ثم يبدأ المنحني بالعودة إلى انسيابيته. عند نسبة الماء (85%) يُلاحظ أن منحني العملي عند القدرة الواطئة يبدأ بالتقرب مع منحني [2]. يُلاحظ انحراف المنحني العملي لنسبة (85%) نحو التناقص عندما



يزداد معدل القدرة كما تم ذكره سابقاً. يلاحظ أن أفضل منحني لمعامل انتقال الحرارة هو نسبة الماء (15%).



الشكل (6): مقارنة بين النتائج العملية والنظرية للأنبوب الحراري توضح العلاقة بين معامل انتقال الحرارة والقدرة المدخلة ونسبة الماء.



الشكل (7): مقارنة بين النتائج العملية والنظرية للترموسيفون الحراري توضح العلاقة بين معامل انتقال الحرارة والقدرة المدخلة ونسبة الماء.

## 6: الاستنتاجات

1-توزيع درجات الحرارة على طول جدار المبخر للجهاز غالباً ما يكون ثابتاً وان درجات الحرارة لجدار المكثف أظهرت انخفاضاً واضحاً وهذا الانخفاض نتيجة المقاومات الداخلية للأنبوب .أما توزيع درجات الحرارة على طول الترموسيفون الحراري كان أعلى من توزيع درجات الحرارة على طول الأنابيب الحراري ،إي أن الفرق بين معدل درجة حرارة المبخر والمكثف في الحالة المستقرة كانت أقل في الأنابيب الحراري وبذلك يمكن الاستنتاج بأن "الأنبوب الحراري" كان الأفضل بالنسبة لظروف العمل المستخدمة .



2- قيمة معامل انتقال الحرارة للبخار في الأنابيب الحراري كانت أفضل من معامل الانتقال الحراري للترمومسيفون الحراري.

3- ظهر توافق جيد بين النتائج العملية للبحث مع نتائج علاقات عملية ونظرية لباحثين آخرين.

#### 7 : المصادر

- [1] Amori K. E., Abdullah M. L., “Experimental and Theoretical Study of Two-Phase Heat Pipe”, J



Journal of Engineering, Vol.19, No.6, pp.668-685,2013.

- [2] Roshenow W.M., “A Method of Correlating Heat Transfer Data for Surface Boiling Curves”, International Journal of Heat Transfer ASME84, pp.969, 1962.
- [3] Shaheen H.M.A., “An Experimental Study of Heat Transfer in Loop Thermosyphon”, M. Sc. Thesis, Mosul University, Collage of Engineering, 2012.
- [4] Vlassov V.V., De Sousa F.l., Takahashi W.K., “Comprehensive Optimization of a Heat Pipe Radiator Assembly Filled with Ammonia or Acetone”, International Journal of Heat and Mass Transfer, Vol.49, pp.4584-4595, 2006.
- [5] Bejan A., Kraus A.D., “Heat Transfer Handbook”, Published by John Wiley & Sons, Inc., Hoboken, New Jersey, 2003.
- [6] Ninad D.S., “Incorporation of Heat Pipe into Engine air Pre-cooling Study”, M. Sc. Thesis, B.E., University of Pune, 2000. Kansas state university Manhattan, Kansas, 2003.
- [7] Reay D.A., and Kew P., “Heat Pipes Theory, Design and Applications”, 5<sup>rd</sup>. Edition, Britain, 2006.
- [8] Al-Moula A.A.Y., “Comparison between a Heat Pipe and a Thermosyphon Performance with Variable Evaporator Length”, M. Sc. Thesis, Mosul University, Collage of Engineering, 2010.
- [9] Kreith F., Boehm R.F., Raithby G. D., anHollands K.G., “Heat and Mass Transfer Handbook”, CRC Press LLC, 2000.



- [10] Zhang M., Liu Z., Ma G., “The Experimental Investigation on Thermal Performance of a Flat Two-Phase Thermosyphon”, International Journal of Thermal Sciences, Vol.47, pp.1195-1203, 2008.
- [11] Immura H., Sasaguchi K., Kozai H., Numata S., “Critical Heat Flux in Two-phase Closed Thermosyphon”, International Journal of Heat Mass Transfer , vol.26, No.8, pp.1181-1188, 1983.
- [12] Noie S.H., “Heat Transfer Characteristics of a Two-phase Closed Thermosyphon”, Journal of Applied Thermal Engineering , vol.25, pp. 495-506, 2005.
- [13] Al-Shabbani R.H.R., “An Experimental Investigation to Evaluate The Performance of a Heat Pipe”, M. Sc. Thesis, Mosul University, Collage of Engineering, 2009.